## АСТРОФИЗИКА

**TOM 18** 

НОЯБРЬ, 1982

ВЫПУСК 4

УДК 524.7—77

# ФУНКЦИЯ РАДИОСВЕТИМОСТИ СЕЙФЕРТОВСКИХ ГАЛАКТИК

## Р. А. КАНДАЛЯН

Поступила 14 декабря 1981 Принята к печати 27 июля 1982

На основе полной выборки сейфертовских галактик ярче  $14^m2$  построена их функция радиосветимости (F (>P)). Определены зависимости средней радиосветимости ( $\overline{P}_{1,4}$ ) и функции радиосветимости от оптической светимости ( $L_p$ ) галактик, которые оказались вида  $\overline{P}_{1,4} \sim L_p^{1.2\pm0.3}$  и F (>P)  $\sim L_p^{1.3\pm0.5}$ . Предполагается, что вероятность галактики Syl быть радиоисточником со светимостью  $\lg P_{1,4} \sim 23.0$  больше, чем у Sy 2.

1. Введение. В настоящее время немало сейфертовских (Sy) галактик исследованы в широком диапазоне радиочастот, что позволяет попытаться построить их функцию радиосветимости (ФРС) на основе полной выборки галактик. Ранее это не представлялось возможным, так как выборка Sy галактик не была достаточно полной как в оптическом, так и в радиодиапазонах.

В настоящей работе строится ФРС сейфертовских галактик ярче 14. 2 звездной величины. С этой целью образована выборка из 52 галактик, которая практически полностью (кроме одной галактики) наблюдалась в радиодиапазоне.

2. Выборка сейфертовских галактик ярче  $14^m2$ . При составлении выборки сейфертовских галактик мы рассматривали область неба, которая исследована в первых 14 списках обзора Маркаряна и сотрудников [1-3]. Эта область в первом приближении определяется условиями (1) и (2) работы [4], тем самым исключается вопрос о влиянии неодинаковой степени изученности областей неба. Следует отметить, что именно в работе [4] более детально исследована оптическая функция светимости и вопросы полноты сейфертовских галактик.

Список 52-х сейфертовских галактик, удовлетворяющих указанным выше условиям, представлен в табл. 1, где последовательно даны: наиме-

нование галактики; красное смещение; фотографическая видимая ведичина, исправленная за галактическое поглощение ( $a_p = 0.24 \operatorname{cosec} |b^{11}|$ ); абсолютная фотографическая величина; логарифм радиосветимости на частоте 1.4 ГГц в единицах  $B_T/\Gamma_{\rm H}$ , соответствующие  $H_0 = 75$  км/с · Мпс: классификация Sy галактик. Данные о красных смещениях и типах Sy галактик взяты из работ [5—10], а результаты радионаблюдений брались из [11—16]. Во всех случаях, когда имеются измерения видимых величии у Цвикки и сотрудников [17—20], в таблице приведены эти значения. В остальных случаях даны значения видимых величин (отмечены скобками) согласно [1-3]. Скобками отмечены также значения логарифмов радиосветимостей тех галактик, потоки которых пересчитаны на частоту 1.4 ГГц с других частот со средним спектральным индексом  $\alpha = 0.75 \, (S_{v} \sim v^{-a})$ . Из приведенных в табл. 1 галактик 35 относятся к классу Sy 1, а 17 — Sy 2. Среди 52 галактик 24 являются радиоисточниками, для 27 оценены верхние границы плотностей потоков, одна галактика в радиодиапазоне пока не наблюдалась (август 1981 г.).

Таблица 1 ВЫБОРКА СЕЙФЕРТОВСКИХ ГАЛАКТИК

BDIBOPKA CENGEPTOBOKNA TAMAKTIK					
Галактика	z	m <sub>p</sub>	$M_p$	$\lg P_{1.4} \; (\mathrm{Bt/\Gamma u})$	Класс
1	2	3	4	5	6
Mkn 335	0.025	(13 <sup>77</sup> 6)	_21 <sup>m</sup> 4	< 22.0	1
Mkn 938	0.019	(13.8)	-20.7	<(21.8)	2
I Zw 1	0.061	14.0	-23.2	22.9	1
Mkn 993	0.017	13.5	-20.6	<(22.6)	2?
Mka 1157	0.015	13.5	-20.5	(22.9)	2
Mkn 573	0.016	13.7	-20.3	< (22.6)	2
Mkn 590	0.027	13.7	-21.4	<(23.0)	1
Akn 79	0.020	12.9	-21.6	22.0	2
Mkn 1040	0.017	13.4	-20.8	<(22.6)	1
Mkn 1044	0.016	(14.2)	-19.9	<(23.0)	1
Mkn 1048	0.043	13.7	-22.5	<(23.8)	1
NGC 1068	0.0038	9.4	-21.5	23.2	2
Mkn 609	0.034	(14.2)	-21.3	<(23.2)	1
3C 120	0.033	13.7	-21.9	25.1	1
Mkn 618	0.035	(14.1)	-21.6	<(23.3)	1
Akn 120	0.033	13.9	-21.6	(23.7)	1
Mkn 3	0.014	13.2	-20.4	23.6	2
VII Zw 118	0.079	14.0	-23.5		1
Mkn 79	0.022	12.8	-22.0	22.2	1

Таблица 1 (окончание)

I do Audo I				
2	3	4	5	6
0.029	13 <sup>m</sup> 5	-21 <sup>m</sup> 8	< 21.8	1
0.023	14.0	-20.9	22.0	2
0.013	13.5	-20.1	< 21.2	- 1
0.028	13.5	-21.7	< 21.5	1
0.036	14.2	-21.7	(23.3)	1
0.0033	11.9	-18.7	21.3	2
0.0093	11.9	-20.9	22.8	1
0.010	13.3	-19.7	<(22.2)	1
0.0024	11.2	-18.7	20.8	1
0.0033	11.0	-19.6	22.0	1
0.0077	12.9	-19.5	< (22.0)	1
0.013	13.5	-20.1	22.1	1
0.041	13.8	-22.3	23.8	1
0.0090	14.0	-18.9	21.3	2
0.032	14.2	21.4	22.6	1
0.017	12.9	-21.3	22.7	1
0.036	14.0	-21.9	<(23.3)	2
0.034	14.2	-21.4	22.1	1
0.632	14.0	-21.6	22.3	- 1
0.014	13.6	-20.1	<(22.5)	2
0.036	(13.7)	-22.1	< 22.2	1
0.035	(12.5)	-23.2	<(23.3)	1
0.062	13.8	-23.1	<(23.8)	1
0.065	14.2	-22.9	< 22.5	1
0.025	13.9	-21.1	(23.4)	2
0.025	13.8	-21.1	22.5	1
0.043	14.2	-21.9	<(23.4)	2
0.010	(14.2)	-18.8		2
0.025		-21.1		2
0.017		-21.5	23.5	1
0.048	(14.2)	-22.2	<(23.5)	1
0.029	14.1	-21.2	<(23.1)	1
0.029	13.3	-22.0	23.6	2
	0.029 0.023 0.013 0.028 0.036 0.0033 0.0093 0.010 0.0024 0.0633 0.0077 0.013 0.041 0.0090 0.032 0.017 0.036 0.034 0.032 0.014 0.036 0.035 0.062 0.025 0.025 0.025 0.043 0.010 0.025 0.017	0.029         13 <sup>m</sup> 5           0.023         14.0           0.013         13.5           0.028         13.5           0.036         14.2           0.0033         11.9           0.0093         11.9           0.0024         11.2           0.0033         11.0           0.0077         12.9           0.013         13.5           0.041         13.8           0.0090         14.0           0.032         14.2           0.017         12.9           0.036         14.0           0.034         14.2           0.035         14.0           0.014         13.6           0.035         (12.5)           0.062         13.8           0.065         14.2           0.025         13.8           0.043         14.2           0.010         (14.2)           0.025         13.8           0.043         14.2           0.010         (14.2)           0.025         13.9           0.017         12.7           0.048         (14.2)           0.029	0.029         13 <sup>m</sup> 5         -21 <sup>m</sup> 8           0.023         14.0         -20.9           0.013         13.5         -20.1           0.028         13.5         -21.7           0.036         14.2         -21.7           0.0033         11.9         -18.7           0.0093         11.9         -20.9           0.010         13.3         -19.7           0.0024         11.2         -18.7           0.0033         11.0         -19.6           0.0077         12.9         -19.5           0.013         13.5         -20.1           0.041         13.8         -22.3           0.0090         14.0         -18.9           0.032         14.2         -21.4           0.017         12.9         -21.3           0.036         14.0         -21.9           0.034         14.2         -21.4           0.035         14.0         -21.6           0.014         13.6         -20.1           0.035         (12.5)         -23.2           0.062         13.8         -23.1           0.055         13.9         -21.1           0.025	$ \begin{array}{ c c c c c c c c c c c c c c c c c c c$

Перейдем к рассмотрению вопроса полноты выборки сейфертовских галактик с  $m_\rho = 14^m 2$ . С этой целью в табл. 2 приведено распределение числа Sy галактик по видимым величинам, где  $N_{\rm H}$ ,  $N_{\rm O}$  — соответственно наблюдаемое и ожидаемое число галактик.

Таблица 2 РАСПРЕДЕЛЕНИЕ ЧИСЛА СЕЙФЕРТОВСКИХ ГАЛАКТИК ПО ВИЛИМЫМ ВЕЛИЧИНАМ

m <sub>p</sub>	N <sub>in</sub>	No
12"0	5	2-3
12.5	6	5
13.0	11	10
13.5	21	20
14.0	41	40
14.2	52	52
14.3	53	60

Нетрудно убедиться, что если принимать  $N_{\rm H}(12^{\rm m})=5$ , то по формуле (П8) работы [4] фактор полноты Sy галактик с  $m_p < 14^m 2$  получается ~ 1. Выборка Sy галактик до 14<sup>m</sup>2 является практически полной и хорошо удовлетворяет закону  $\log N \sim 0.6 \ m_{\rho}$ , если число объектов ярче  $12^{n}$ 0 уменьшить до 2-3 галактик, принимая, что остальные 2-3 галактики могут быть флуктуациями. Следует отметить, что небольшие флуктуации числа объектов ярче 12"0 приводят к значительным изменениям ожидаемого числа галактик с  $m_p > 12^m 0$ . Как видно из табл. 2, выборка является неполной (фактор полноты менее 90%), начиная с объектов  $m_n \gg 14.73$ .

3. Функция радиосветимости. Существуют несколько методов построения функции светимости галактик. Из них более распространенным является метод максимальных объемов (метод Шмидта) [21]. Однако этот метод не использует информацию о верхних границах плотностей потоков. Кроме метода Шмидта в последнее время были предложены другие методы построения ФРС, в которых наряду с измеренными значениями плотностей потоков используются также значения верхних пределов. В настоящей работе мы будем пользоваться методом построения ФРС, предложенным в [22]. Ниже приведем формулу, по которой можно посчитать относительную долю объектов в определенном интервале радиосветимостей. Более подробно с этим методом можно познакомиться в вышеуказанной работе.

Относительную долю галактик в определенном интервале радиосветимостей можно посчитать по следующей рекуррентной формуле:

$$f_{k} = \frac{D_{k}}{N + \sum_{i=1}^{k} \frac{U_{i}}{1 - \sum_{j=0}^{i-1} f_{j}}}, \quad f_{0} = 0,$$
(1)

где  $D_k$ — число объектов с измеренным радиоизлучением в k-ом интерва ле радиосветимостей;  $U_i$  — число объектов, для которых оценены значения верхних пределов плотностей потоков в i-ом интервале светимостей: N — полное число объектов. В табл. 3 приведена интегральная форма функции радиосветимости сейфертовских галактик для двух интервалов абсолютных величин и  $\triangle \lg P_{1.4} = 0.4$ . Выбор подобного разделения по  $M_p$  обусловлен тем, чтобы каждый интервал содержал примерно одинаковое число галактик. В скобках указано число (n) объектов с измеренным радиоизлучением для данного интервала светимостей. Ошибка определения  $\Phi$ РС пропорциональна  $n^{-1/2}$ .

Таблица 3 ИНТЕГРАЛЬНАЯ ФУНКЦИЯ РАДИОСВЕТИМОСТИ СЕЙФЕРТОВСКИХ ГАЛАКТИК

$M_{\rho} < -21.4$	$M_{p} > -21.4$	lg P <sub>1.4</sub> (Βτ/Γg)
0.04±0.04 (1)		25.2
		24.8
		24.4
0.16±0.08 (3)	0.04±0.04 (1)	24.0
0.22±0.10 (1)	0.08+0.06	23.6
$0.35\pm0.13$ (2)	0.18+0.09	23.2
0.42±0.15 (1)	0.31+0.13	. 22.8
$0.75\pm0.22$ (4)	0.54+0.19	22.4
<1.0 (0)	<1.0 (0)	22.0
<1.0 (0)	0.77±0.25 (2)	21.6
	1.00+0.34	21.2
		20.8

Зависимость логарифма интегральной функции радиосветимости ( $F(\gg P)$ ) галактик для  $M_p \ll -21.4$  и  $M_p > -21.4$  от  $\lg P_{1.4}$  приве-

дена на рис. 1. На рис. 2 представлена подобная зависимость для сейфертовских галактик 1-го типа. Вероятность того, что для значений  $\lg P_{1.4} \gg$  $\geqslant$  23.0 точки ФРС оптически ярких ( $M_p \leqslant -21.5$ ) и слабых ( $M_p >$ > — 21.5) галактик попадут в область перекрытия ошибок, меньше 0.05.

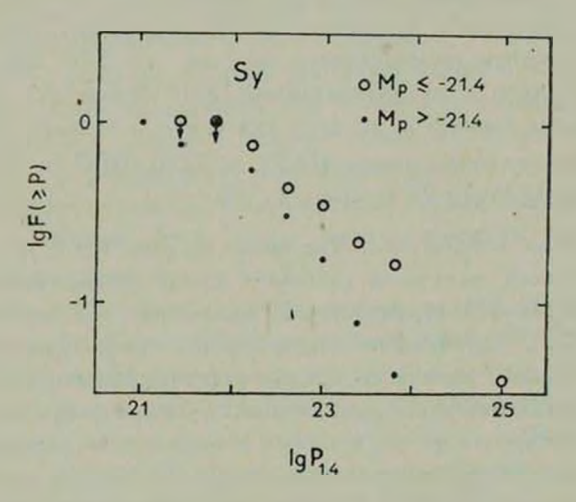


Рис. 1. Интегральная функция радиосветимости Sy галактик.

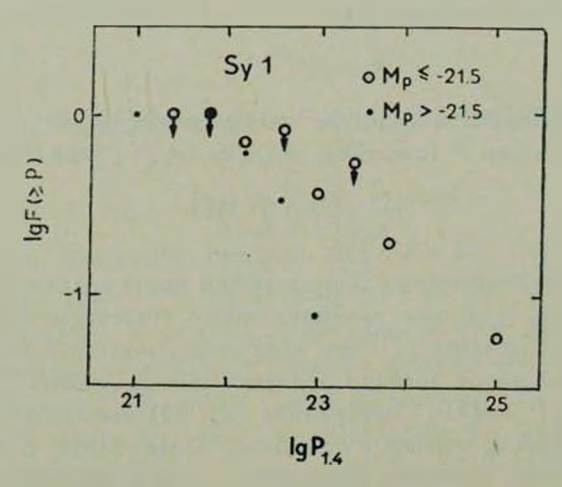


Рис. 2. Интегральная функция радиосветимости Sy 1 галактик.

Поэтому для того, чтобы не усложнять рисунки, на них не приведены ошибки определения ФРС. В данной выборке число Sy 2 галактик невелико, и для них ошибки определения ФРС могут быть большими. По этой причине мы не приводим ФРС для этих объектов.

В используемом методе построения ФРС очень важно, чтобы пересчет плотностей потоков и верхних границ с других частот на частоту 1.4 ГГц не приводил к их недооценке. В противном случае объекты с нилкой радиосветимостью могут попасть в интервал высоких светимостей, что недопустимо в приведенном методе построения ФРС. В нашем случае пересчет плотностей потоков на частоту 1.4 ГГц осуществлялся с  $\nu > 1.4$  ГГц со средним значением спектрального индекса  $\alpha = 0.75$ , что является характерным значением  $\alpha$  для Sy галактик [23]. Переоценка же плотностей потоков и верхних границ не исказит вид ФРС, а только сделает более плоским наклон слабого конца ( $\log P_{1.4} < 23.0$ ) ФРС и более крутым наклон яркого ( $\log P_{1.4} > 23.0$ ) (рис. 1, 2).

4. Обсуждение результатов. Как видно из рис. 1 и 2, на слабом конце функции светимости оптически слабые и яркие сейфертовские галактики примерно с одинаковой вероятностью являются радиоисточниками. На ярком конце ФРС вероятность сейфертовской галактики быть радиоисточником больше у оптически ярких галактик. Можно получить аналитическое представление этого заключения, а также связь между светимостями сейфертовских галактик в радио и оптическом диапазонах. С этой целью, используя дифференциальную форму ФРС, мы оценили средние значения радиосветимостей для разных интервалов абсолютных величин и определили связь между радиосветимостью  $\overline{P}_{1,4}$  и оптической светимостью  $L_p$ . Эта связь оказалась вида

$$\overline{P}_{1,4} \sim L_x^{1,2\pm 9,3}$$
 (2)

Далее, зная зависимость функции светимости  $F(\geqslant P)$  от  $M_p$ , при определенном значении P (см. табл. 3), для  $\lg_1 P_{1,4} > 23.0$  получаем

$$F(\gg P) \sim L_{\rho}^{1.3 < 0.5}$$
 (3)

Таким образом, соотношение (2) показывает, что в среднем оптически яркие сейфертовские галактики являются также относительно сильными радиоисточниками. Согласно (3), чем ярче сейфертовская галактика в оптическом диапазоне, тем с большей вероятностью она может быть радиоисточником с  $\lg P \geqslant 23.0$ . Соотношения (2), (3) выполняются также для Sy 1 галактик, правда, ошибки в степени  $L_p$  более велики. В работах [24—27] были получены подобные соотношения для нормальных спиральных, вллиптических и радиогалактик. Разница заключается только в значениях светимостей этих галактик как в радио, так и в оптическом диапазонах. По значениям светимостей сейфертовские галактики занимают промежуточное положение между нормальными галактиками и радиогалактиками.

Обратимся к применению основных выводов (соотношения (2) и (3)) данной работы относительно сейфертовских галактик двух типов, предполагая, что соотношения (2), (3) справедливы также для Sy 2 галактих (что весьма вероятно, так как Sy галактики по многим своим свойствам занимают промежуточное положение между нормальными галактиками и радиогалактиками, для которых, как было отмечено, выполняются подобные соотношения. Кроме этого, эти соотношения имеют место как для Sy, так и для Sy 1 галактик). С этой целью мы вычислили средние значения абсолютных величин Sy галактик 1 и 2 типов, которые оказались равными —  $21.4 \pm 1.1$  и —  $20.6 \pm 1.1$  соответственно. С точки зрения распределения Стьюдента расхождение этих двух средних с надежностью 98% можно считать неслучайным. Следовательно, можно предположить, что вероятность галактики Sy 1 быть радиоисточником CO  $\lg P_{1.4} \geqslant 23.0$  больше, чем у Sy 2.

В заключение следует отметить, что в данной выборке Ѕу галактик пространственный объем объектов высокой оптической светимости примерно в 10 раз превышает тот же объем для слабых объектов. Однако, с другой стороны, согласно [4], пространственная плотность галактик высокой светимости во столько же раз меньше, чем у слабых. Следовательно, использование разных пространственных объемов практически не внесет существенных искажений в распределение F > P.

Автор признателен рецензенту за полезные замечания.

Бюраканская астрофизическая обсерватория

## THE RADIO LUMINOSITY FUNCTION OF SEYFERT TYPE **GALAXIES**

#### R. A. KANDALIAN

The radio luminosity function (F(P)) for Seyfert (Sy) type galaxies brighter than 14<sup>m</sup>2 has been derived on the basis of the complete sample of galaxies. It is found that the average radio luminosity ( $\bar{P}$ ) and the luminosity function of Seyfert galaxies are correlated with the optical luminosity  $(\overline{P}_{1.4} \sim L_p^{1.3-0.3})$  and  $F(>P) \sim L_p^{1.3-0.5}$ . It is supposed that the probability of being a radio source for Sy 1 galaxy with the luminosity  $lg P_{1.4} > 23.0$  is higher than for Sy 2 galaxy.

## **ЛИТЕРАТУРА**

<sup>1.</sup> Б. Е. Маркарян, Астрофизика, 3, 55, 1967; 5, 443, 581, 1969.

<sup>2.</sup> Б. Е. Маркарян, В. А. Липовецкий, Астрофизика, 7, 511, 1971; 8, 155, 1972; 9, 487, 1873; 10, 307, 1974; 12, 389, 657, 1976.

- 3. Б. Е. Маркарян, В. А. Липовецкий, Дж. А. Степанян, Астрофизика, 13, 225, 397, 1977; 15, 201, 363, 549, 1979.
- 4. В. Ю. Теребиж, Астрофизика, 16, 45, 1980.
- 5. D. W. Weedman, Ann. Rev. Astron. Astrophys., 15, 69, 1977.
- 6. D. W. Weedman, M. N., 184, 11, 1978.
- 7. В. Л. Афанасьев, Э. К. Денисюк, В. А. Липовецкий, Письма АЖ, 5, 271, 1979.
- 8. D. Kunth, W. L. W. Sargent, ESO Preprint No. 35, 1978,
- 9. В. Л. Афанасьев, В. А. Липовецкий, Б. Е. Маркарян, Дж. А. Степанян, Астрофизика. 16, 193, 1980.
- Б. Е. Маркарян, В. А. Липовецкий, Дж. А. Степанян, Астрофизика, 16, 5, 609, 1980.
- 11. A. G. de Bruyn, A. S. Wilson, Astron. Astrophys., 53, 93, 1976.
- 12. R. A. Sramek, H. M. Tovmasstan, Ap. J., 196, 339, 1975.
- 13. E. S. A. Meurs, A. S. Wilson, Astron. Astrophys., Supl. ser., 45, 99, 1981.
- 14. L. L. Dressel, J. J. Condon, Ap. J. Suppl. ser., 36, 53, 1978.
- 15. В. А. Санамян, Р. А. Кандалян. Астрофизика, 15, 701, 1979; 16, 425, 1980.
- 16. В. А. Санамян, Р. А. Кандалян, Г. А. Оганян (в подготовке к печати).
- F. Zwicky, E. Herzog, P. Wild, Catalogue of Galaxies and of Clusters of Galaxies, vol. 1, 1961.
- F. Zwicky, E. Herzog, Catalogue of Galaxies and of Clusters of Galaxies, vol. 2, 1963; vol. 3, 1966; vol. 4, 1968.
- 19. F. Zwicky, M. Karpowicz, C. T. Kowal, Catalogue of Galaxies and of Clusters of Galaxies, vol. 5, 1965.
- F. Zwicky, C. T. Kowal, Catalogue of Galaxies and of Clusters of Galaxies, vol. 6, 1968.
- 21. M. Schmidt, Ap. J., 151, 393, 1968.
- 22. Y. Avni, A. Soltan, H. Tananbaum, G. Zamorani, Ap. J., 238, 800, 1980.
- 23. A. G. de Bruyn, A. S. Wilson, Astron. Astrophys., 64, 433, 1978.
- 24. E. Hummel, Astron. Astrophys., 93, 93, 1981.
- 25. I. M. Gioia, L. Gregorini, G. Vettolani, Astron. Astrophys., 96, 58, 1981.
- 26, G. Gavazzi, G. Trinchieri, Astron. Astrophys., 97, 128, 1981.
- C. Auriemma, G. C. Perola, R. Ekers, R. Fanti, C. Lari, W. J. Jaffe, M. H. Ulrich, Astron. Astrophys., 57, 41, 1977.